

VI-6 射出流による土堆の崩壊とその流下挙動について

宮崎大学工学部 正員 ○吉高益男 正員 高野重利
渋谷恒頭 高橋泰 天木晋司

はじめに 土石流の研究ではBagnoldの粒子流かBinghamの塑性流として解析することが多い。孔井吉高ら⁹⁾もシラス土石流をBingham流として先端速度を無次元化してみたが、より正しい結果をうるには流速分布を測定する必要があると考えて見た。最初は流速分布の同時記録を狙つたが成功せず、現象の両現象を確実にするため部分的に試料を数多く実験した。そして、射出流による土堆崩壊と同じ条件で魏達し、サーミスタセンサーとして内界流速を測定した。その結果と若干の解析をここに報告する。

1 実験方法 15cm巾水路(15°勾配、分歧水路付)の上流部に1m長・2.5cm厚の土堆を作り、1%の水量を切り替え枝により急に流入させ、敷土下流端から550cmの断面で先端速度を測定した。敷土材料は標準砂・2~5mmの小砂利・5~10mmのメサライトである。流速測定には温度計用サーミスタを用い、熱線流速計(日本科学工業製)により直線化した。あるサーミスタの検定曲線を図-1(X-Yレコーダーにより自動記録)に示す。低流速から1m/s以上までの範囲の直線化は困難であった。また、当該水温には敏感であった。そして、砂利が当ると劣化するよう、ついには接着する。なお、段波先端速度は電気ポイントゲージとモータードライバカメラの記録により整理した。

2 段波先端速度 図-2に先端速度の変化を示す。水のみの段波はほぼ一様速度で流下する。土堆があるとその上端で土石流が発生し、土堆の速度は遅い。土堆が崩壊はじめると加速される。標準砂は揃え型で、砂は水路床附近に集中し水段波に近い。小砂利・メサライトは集合運動型であるが、重い小砂利では表面に水のせの部分もあり、軽いメサライトはよく混合し、より強く加速される。

3 各点流速の変動 水路床からy mmの高さの流速変動を図-3に示す。図には水深変動も示した。最初に水が主であるオーピークがあり、その後より速い土石流が通過する。メサライトはピークが一つだけである。標準砂で最大水深時の流速は遅いが、小砂利などでは水深と流速のピークは大体一致している。また、水路床附近は乱れが弱く、表面近くが乱れが強い。

4 同時刻流速分布 同じ時刻の値を用いて画いた流速分布が図-4である。標準砂では水のみの流速分布に似てくるが、水路床附近の速度勾配は大きい。小砂利では上部が押し出すように流下している。たゞし水路床附近の逆流はみられない。メサライトでは水路床附近にのみ速度勾配が降り、上部は一様流速に近いようで、Bingham流のようなる分布である。

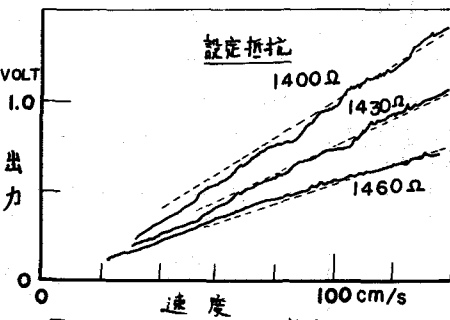


Fig. 1 サーミスタの検定曲線

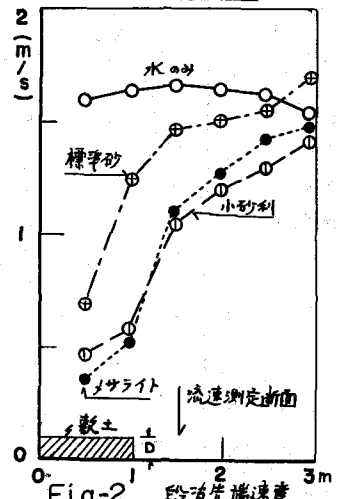


Fig. 2 段波先端速度

試料	球相当径 $d: \text{cm}$	粒子密度 $\rho': \text{g/cm}^3$	敷土濃度 $C_s: \text{g/cm}^3$	土石流容積 $P': \text{m}^3$	土流宽度 $h: \text{cm}$	水深 $h: \text{cm}$	水路底の高さ $y: \text{cm}$	速度勾配 (du/dy)	(1)式 k	第3項厚さ $a: \text{cm}$	(2)式 $v_s + \epsilon$
標準砂	0.02	2.62	0.33	0.17	1.28	0.6	0.15	370	6.0	0.2	0.034
小砂利	0.30	2.51	0.40	0.34	1.52	1.7	0.2	105	0.68	0.3	0.24
メサライト	0.77	1.66	0.47	0.45	1.30	2.7	0.2	115	0.14	0.3	0.22

Bagnold流の剪断力では(1)式、Bingham流では(2)式で与えられる。

$$\tau = k C_m \sigma d^2 (\frac{dy}{dx})^2 \quad \dots \dots \quad (1) \quad \tau = \tau_c + \rho' (\nu_B + E) \frac{dy}{dx} \quad \dots \dots \quad (2) \quad (\nu_B: \text{塑性粘性係数}, E: \text{抗散係数})$$

Bingham流の剪断降伏値では水路床から速度勾配が0になる所までの高さ a (剪断底層厚) を用いて、

$$\tau_c = (1 - a/h) \tau_0 \quad \text{が示される。一方、流れ下で } \tau = \rho' g (h - y) \sin \theta \text{ である。} \quad (\theta: \text{水路勾配})$$

(1)式の k とて Bagnold は(3)式、河村³⁾は(4)式(D : 敷土厚)を与えている。

$$k = f(C_m) = 0.013 / \{ \{ (C_m / C_m)^3 - 1 \}^2 C_m \} \quad \dots \dots \quad (3) \quad k = f(D/d) = 0.04 (D/d)^{3.75} \quad \dots \dots \quad (4)$$

図-4から水路床付近の速度勾配と y および a を読みとり、 k および $\nu_B + E$ を計算すると前原下段の表が得られる。横軸は C_m および D/d として k を図示すると図-5となる。図-5に示すのは3種の測定値からえた式をもとにすくいながら、それを(3),(4)式の係数とは同じオーダーである。しかし、指數は全く違う値である。図-5の式は非定常でのある時刻の値であり、(3)式自体は定常流として求められたもので、土石流先端の挙動は簡単には解析できないと考える。

また、小砂利などの $(\nu_B + E)$ は $0.2 \text{ cm}^2/\text{s}$ であり、現地土石流に対して室内実験に相似性があるかといふ問題を示しているようだ。

あとに サーミスターの破損が多く、僅かの実験しかできなかつたが、土石流の流速を一応測定しえたので、その後改良していきたい。この実験は自然災害特別研究(1)「九州の火山地震における地盤災害の評価と対策」(代表者山崎達也教授)の補助を受けたものであることを付記する。
[参考文献]

1) 孔井順二、吉高義男: ラス首地崩壊後の土石流の挙動について、土木学会西部支部、1978.2

2) 河村三郎: 土石流の流下速度と流砂量について、14回自然災害シンポ、1977.8

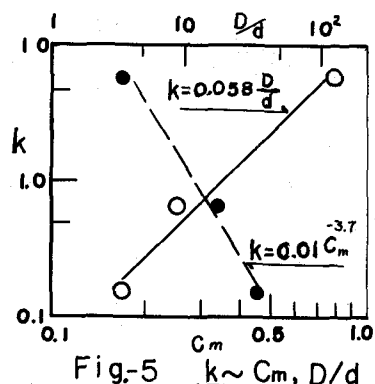


Fig. 5 $k \sim C_m, D/d$

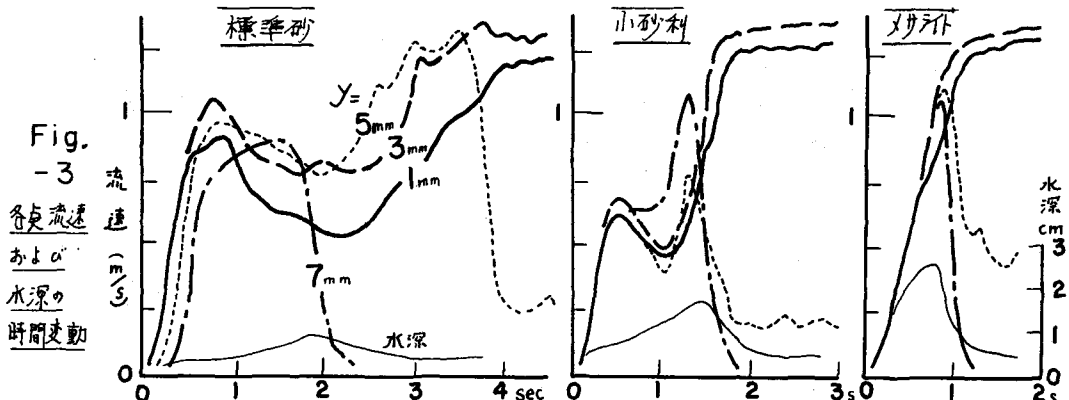


Fig.

-3

各段落流速
およそ
水深
時間変動

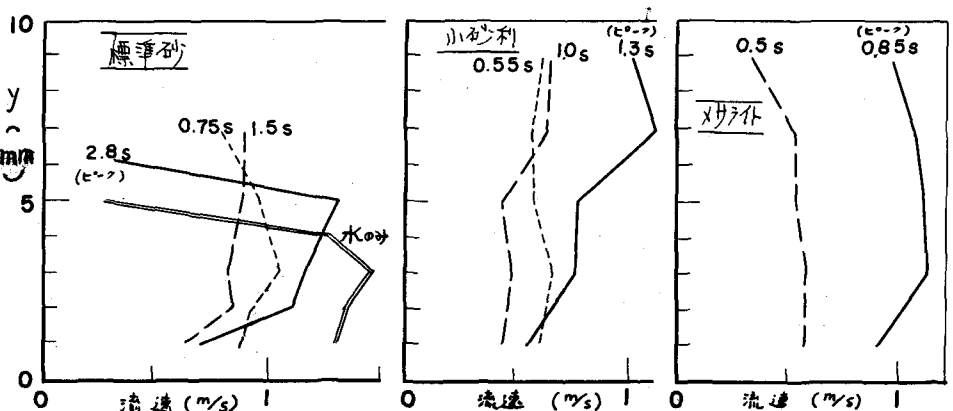


Fig.

-4

同時刻の
流速分布